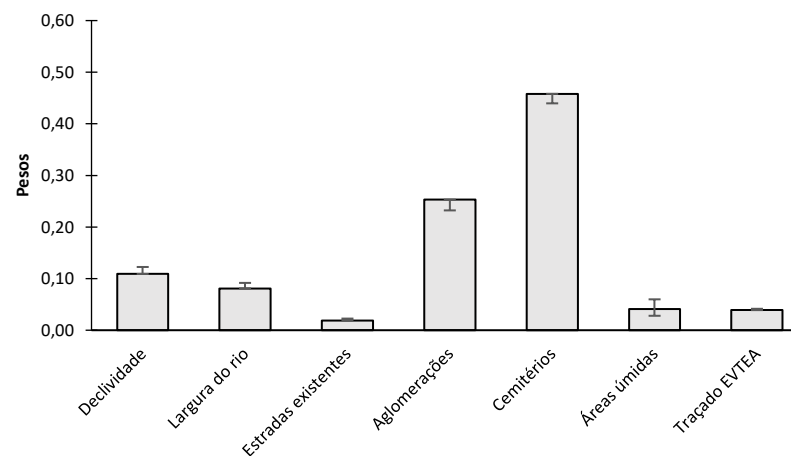
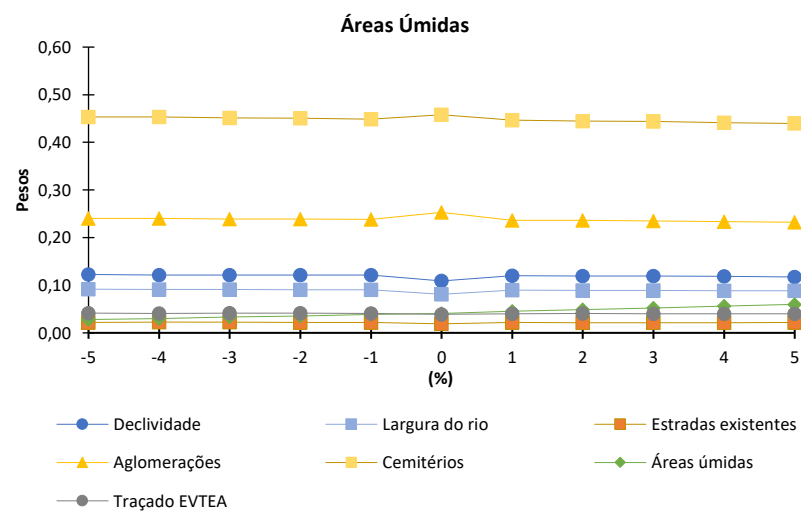




Apêndice 38. Análise de Sensibilidade das variáveis básicas de projeto.

Análise de Sensibilidade para o layer Áreas úmidas

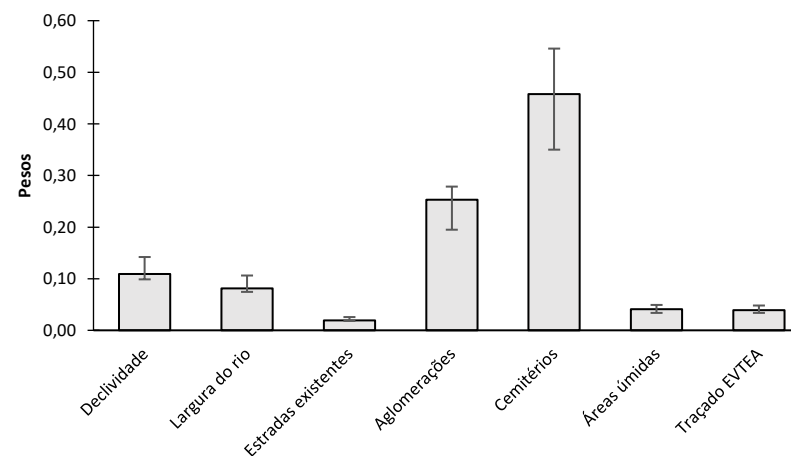
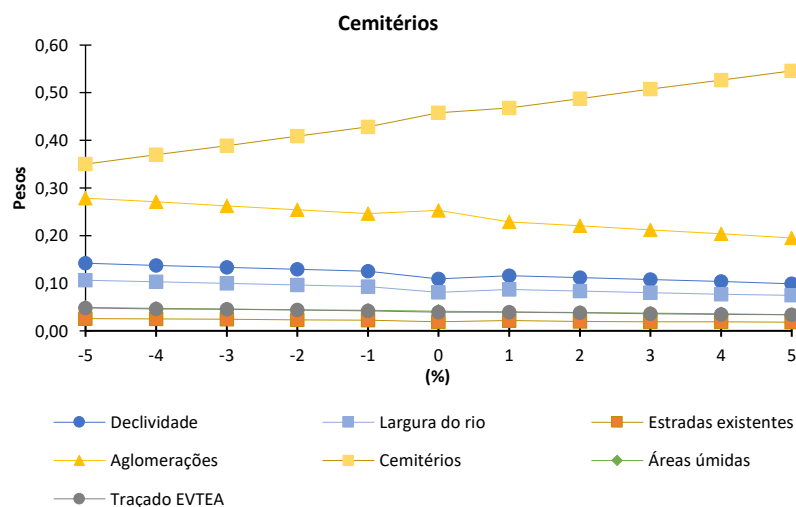
% Change,	Declividade	Largura do rio	Estradas existentes	Aglomerações	Cemitérios	Áreas úmidas	Traçado EVTEA
-5	0,122587	0,091699	0,022201	0,240347	0,453668	0,027992	0,041506
-4	0,121595	0,09144	0,022374	0,240272	0,453307	0,030156	0,040856
-3	0,12145	0,091087	0,022527	0,238981	0,451518	0,033301	0,041136
-2	0,121302	0,09073	0,021696	0,238659	0,45069	0,035503	0,04142
-1	0,121152	0,090367	0,021847	0,238332	0,448858	0,038729	0,040715
1	0,119718	0,089537	0,022133	0,236419	0,44668	0,045272	0,040241
2	0,119554	0,089159	0,021277	0,236069	0,444782	0,048632	0,040527
3	0,119388	0,088776	0,021429	0,234694	0,443878	0,052041	0,039796
4	0,118974	0,088205	0,021538	0,233846	0,441026	0,05641	0,04
5	0,117647	0,088751	0,021672	0,232198	0,439628	0,059856	0,040248
Máx	0,122587	0,091699	0,022527	0,253	0,458	0,059856	0,041506
Mín	0,109	0,081	0,019	0,232198	0,439628	0,027992	0,039





Análise de Sensibilidade para o layer Cemitérios

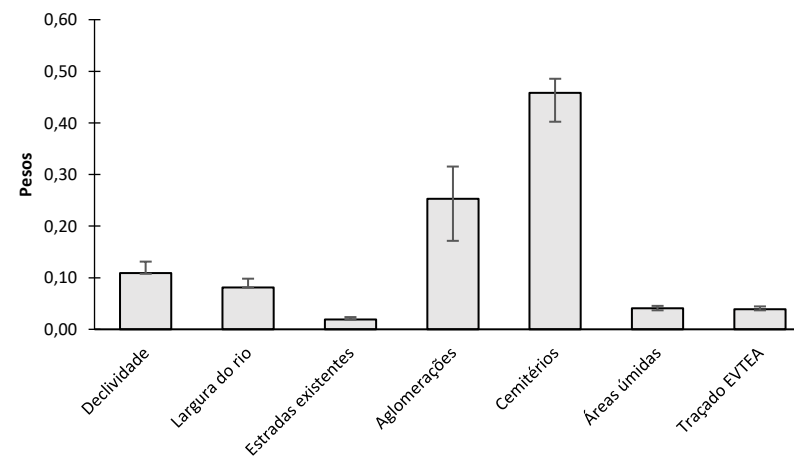
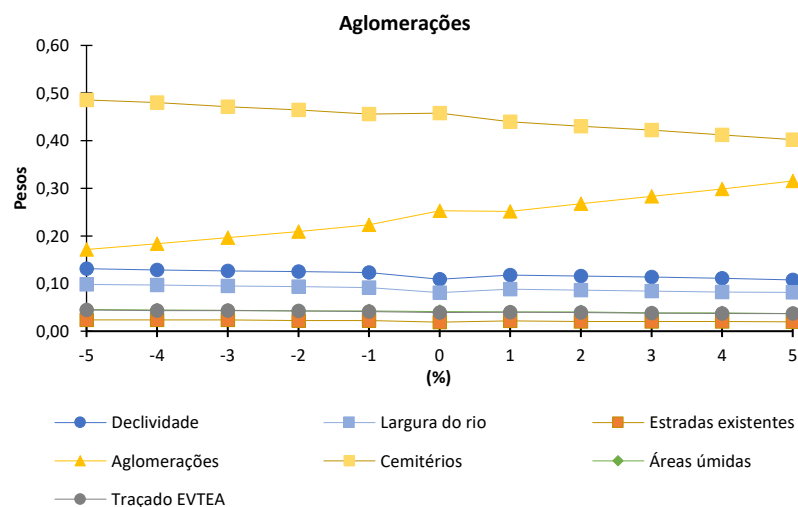
% Change,	Declividade	Largura do rio	Estradas existentes	Aglomeracões	Cemitérios	Áreas úmidas	Traçado EVTEA
-5	0,142058	0,106264	0,025727	0,278523	0,350112	0,049217	0,048098
-4	0,137212	0,103183	0,025247	0,271131	0,369923	0,047201	0,046103
-3	0,13319	0,099893	0,024705	0,262084	0,388829	0,046187	0,045113
-2	0,129202	0,096639	0,023109	0,254202	0,408613	0,044118	0,044118
-1	0,125	0,093238	0,022541	0,245902	0,428279	0,043033	0,042008
1	0,115984	0,086745	0,021442	0,229045	0,467836	0,039961	0,038986
2	0,111742	0,083333	0,019886	0,220644	0,487689	0,038826	0,037879
3	0,107834	0,080184	0,019355	0,211982	0,507834	0,036866	0,035945
4	0,103571	0,076786	0,01875	0,203571	0,526786	0,035714	0,034821
5	0,098787	0,074523	0,018198	0,194974	0,545927	0,033795	0,033795
Máx	0,142058	0,106264	0,025727	0,278523	0,545927	0,049217	0,048098
Mín	0,098787	0,074523	0,018198	0,194974	0,350112	0,033795	0,033795





Análise de Sensibilidade para o layer Aglomerações

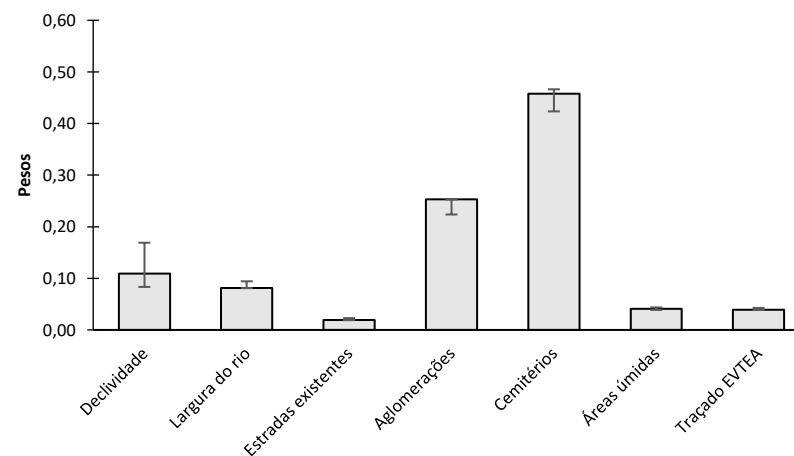
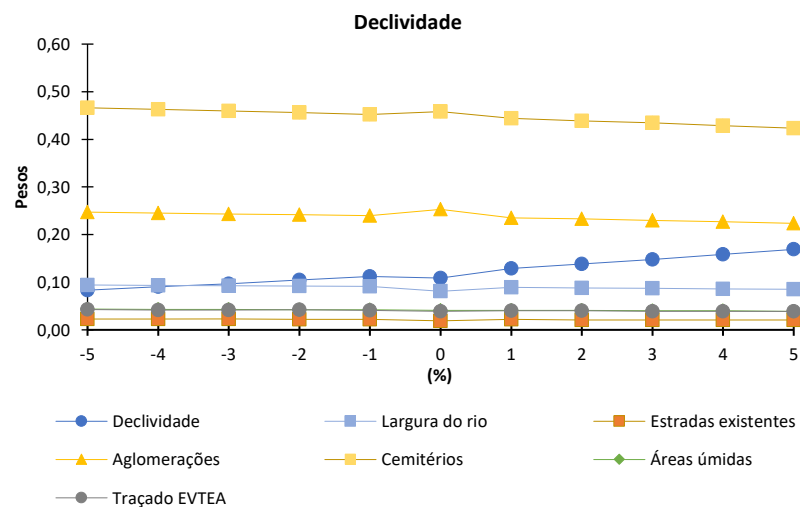
% Change,	Declividade	Largura do rio	Estradas existentes	Aglomerações	Cemitérios	Áreas úmidas	Traçado EVTEA
-5	0,131198	0,09814	0,02376	0,171488	0,485537	0,045455	0,044421
-4	0,128733	0,096807	0,023687	0,183316	0,479918	0,044284	0,043254
-3	0,126789	0,095092	0,023517	0,196319	0,47137	0,043967	0,042945
-2	0,125	0,093496	0,022358	0,20935	0,464431	0,042683	0,042683
-1	0,123108	0,091826	0,0222	0,223007	0,456105	0,042381	0,041372
1	0,117939	0,088206	0,021804	0,251734	0,44004	0,040634	0,039643
2	0,115686	0,086275	0,020588	0,267647	0,430392	0,040196	0,039216
3	0,113482	0,084384	0,020369	0,28322	0,42192	0,038797	0,037827
4	0,111111	0,082375	0,020115	0,298851	0,411877	0,038314	0,037356
5	0,107649	0,081209	0,01983	0,315392	0,402266	0,036827	0,036827
Máx	0,131198	0,09814	0,02376	0,315392	0,485537	0,045455	0,044421
Mín	0,107649	0,081	0,019	0,171488	0,402266	0,036827	0,036827





Análise de Sensibilidade para o layer Declividade

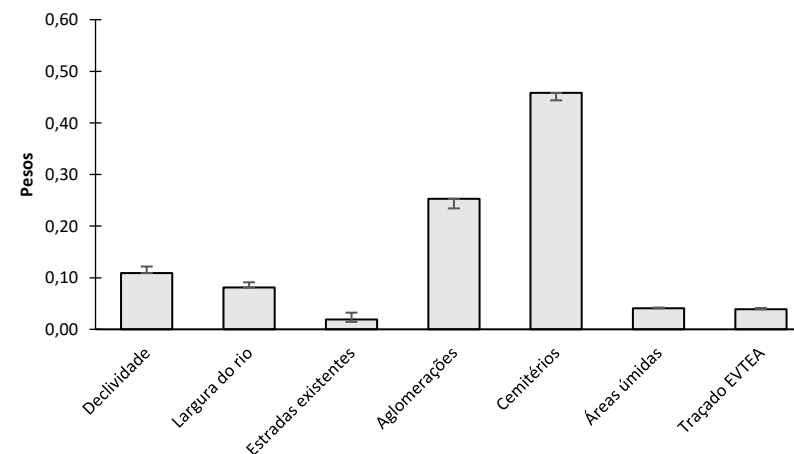
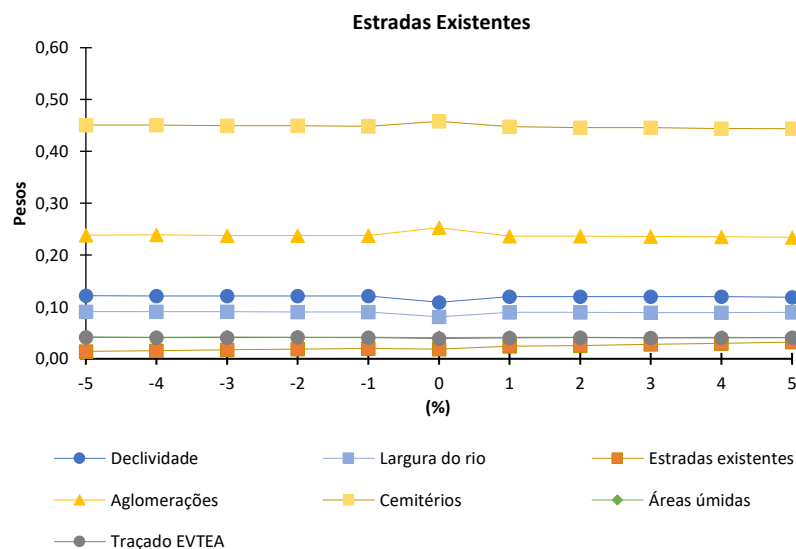
% Change,	Declividade	Largura do rio	Estradas existentes	Aglomerações	Cemitérios	Áreas úmidas	Traçado EVTEA
-5	0,083333	0,094246	0,022817	0,247024	0,46627	0,043651	0,042659
-4	0,090457	0,093439	0,022863	0,245527	0,463221	0,042744	0,04175
-3	0,09671	0,092722	0,022931	0,24327	0,459621	0,042871	0,041874
-2	0,10479	0,091816	0,021956	0,241517	0,456088	0,041916	0,041916
-1	0,112	0,091	0,022	0,24	0,452	0,042	0,041
1	0,129	0,089	0,022	0,235	0,444	0,041	0,04
2	0,138	0,088	0,021	0,233	0,439	0,041	0,04
3	0,148	0,087	0,021	0,23	0,435	0,04	0,039
4	0,158524	0,085743	0,020937	0,227318	0,428714	0,03988	0,038883
5	0,168986	0,085487	0,020875	0,223658	0,423459	0,038767	0,038767
Máx	0,168986	0,094246	0,022931	0,253	0,46627	0,043651	0,042659
Mín	0,083333	0,081	0,019	0,223658	0,423459	0,038767	0,038767





Análise de Sensibilidade para o layer Estradas Existentes

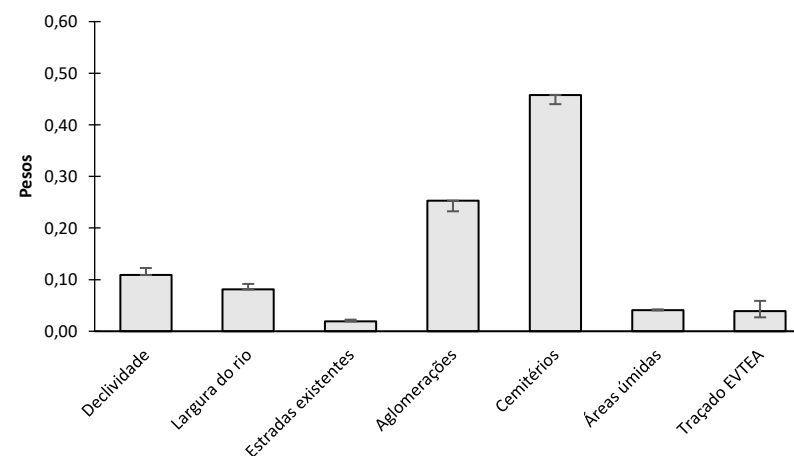
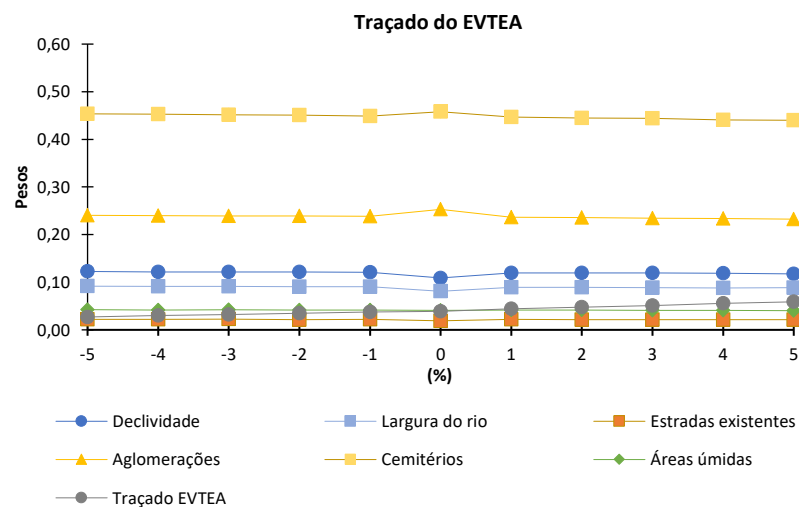
% Change,	Declividade	Largura do rio	Estradas existentes	Aglomerações	Cemitérios	Áreas úmidas	Traçado EVTEA
-5	0,121764	0,091083	0,014382	0,238734	0,450623	0,042186	0,041227
-4	0,121007	0,090997	0,015489	0,239109	0,451113	0,041626	0,040658
-3	0,120976	0,090732	0,017561	0,238049	0,449756	0,041951	0,040976
-2	0,120944	0,090462	0,018682	0,237955	0,449361	0,041298	0,041298
-1	0,121032	0,090278	0,019841	0,238095	0,448413	0,041667	0,040675
1	0,11996	0,089718	0,024194	0,236895	0,447581	0,041331	0,040323
2	0,119919	0,089431	0,025407	0,236789	0,446138	0,041667	0,04065
3	0,12	0,089231	0,027692	0,235897	0,446154	0,041026	0,04
4	0,119835	0,088843	0,029959	0,235537	0,444215	0,041322	0,040289
5	0,11875	0,089583	0,032292	0,234375	0,44375	0,040625	0,040625
Máx	0,121764	0,091083	0,032292	0,253	0,458	0,042186	0,041298
Mín	0,109	0,081	0,014382	0,234375	0,44375	0,040625	0,039





Análise de Sensibilidade para o layer Traçado do EVTEA

% Change,	Declividade	Largura do rio	Estradas existentes	Aglomerações	Cemitérios	Áreas úmidas	Traçado EVTEA
-5	0,122587	0,091699	0,022201	0,240347	0,453668	0,042471	0,027027
-4	0,121477	0,091351	0,022352	0,240039	0,452867	0,041788	0,030126
-3	0,12145	0,091087	0,022527	0,238981	0,451518	0,042116	0,032321
-2	0,121422	0,090819	0,021718	0,238894	0,451135	0,041461	0,034551
-1	0,121152	0,090367	0,021847	0,238332	0,448858	0,041708	0,037736
1	0,119718	0,089537	0,022133	0,236419	0,44668	0,041247	0,044266
2	0,119554	0,089159	0,021277	0,236069	0,444782	0,04154	0,047619
3	0,119388	0,088776	0,021429	0,234694	0,443878	0,040816	0,05102
4	0,118974	0,088205	0,021538	0,233846	0,441026	0,041026	0,055385
5	0,117769	0,088843	0,021694	0,232438	0,440083	0,040289	0,058884
Máx	0,122587	0,091699	0,022527	0,253	0,458	0,042471	0,058884
Mín	0,109	0,081	0,019	0,232438	0,440083	0,040289	0,027027





Análise de Sensibilidade para o layer Largura do rio

% Change,	Declividade	Largura do rio	Estradas existentes	Aglomerações	Cemitérios	Áreas úmidas	Traçado EVTEA
-5	0,124632	0,061825	0,022571	0,244357	0,461237	0,04318	0,042198
-4	0,123274	0,067061	0,022682	0,24359	0,459566	0,042406	0,04142
-3	0,122772	0,072277	0,022772	0,241584	0,456436	0,042574	0,041584
-2	0,122266	0,077535	0,021869	0,240557	0,454274	0,04175	0,04175
-1	0,121635	0,083749	0,021934	0,239282	0,450648	0,041874	0,040877
0	0,109	0,081	0,019	0,253	0,458	0,041	0,039
1	0,119238	0,097194	0,022044	0,235471	0,44489	0,041082	0,04008
2	0,118593	0,103518	0,021106	0,234171	0,441206	0,041206	0,040201
3	0,117825	0,111782	0,021148	0,231621	0,438066	0,040282	0,039275
4	0,116818	0,119839	0,021148	0,229607	0,433031	0,040282	0,039275
5	0,115035	0,128153	0,021191	0,227043	0,429869	0,039354	0,039354
Máx	0,124632	0,128153	0,022772	0,253	0,461237	0,04318	0,042198
Mín	0,109	0,061825	0,019	0,227043	0,429869	0,039354	0,039

